

(8) Kapasiteten i fiberretningen for én rad med  $n$  spikre i fiberretningen skal, med mindre spikrene i raden er forskjøvet vinkelrett på fiberretningen med minst en avstand  $d$  (se figur 8.6), beregnes i henhold til 8.1.2(4) ved bruk av det effektive antallet forbindelsesmidler  $n_{\text{ef}}$ , der:

$$n_{\text{ef}} = n^{k_{\text{ef}}} \quad (8.17)$$

der

$n_{\text{ef}}$  er det effektive antallet spikre i raden;

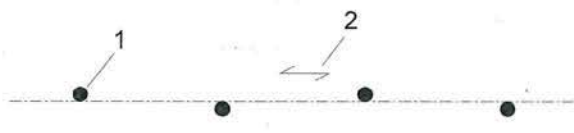
$n$  er antallet spikre i én rad;

$k_{\text{ef}}$  er gitt i tabell 8.1.

Tabell 8.1 – Verdier av  $k_{\text{ef}}$

Avstand <sup>a</sup>	$k_{\text{ef}}$	
	Uten forboring	Med forboring
$a_1 \geq 14d$	1,0	1,0
$a_1 = 10d$	0,85	0,85
$a_1 = 7d$	0,7	0,7
$a_1 = 4d$	-	0,5

<sup>a</sup> om avstanden  $a_1$  ligger mellom tabellverdiene, er lineær interpolasjon av  $k_{\text{ef}}$  tillatt.



#### Tegnforklaring

1 Spiker

2 Fiberretning

Figur 8.6 – Spikre i én rad parallel med fiberretningen forskjøvet vinkelrett på fiberretningen med  $d$

(9) Det må være minst to spikre i en forbindelse.

(10) Krav til konstruksjonsmessige detaljer og kontroll av spikerforbindelser er gitt i 10.4.2.

#### 8.3.1.2 Spikerforbindelser tre mot tre

(1) For glatte spikre må inntrengningsdybden være minst  $8d$ .

(2) For spikre som ikke er glatte og definert i NS-EN 14592, må inntrengningsdybden være minst  $6d$ .

(3) Glatte spikre i endeved bør ikke anses å være kraftoverførende.

(4) Som et alternativ til 8.3.1.2(3) gjelder følgende regler for spikre i endeved:

- I sekundære konstruksjoner kan glatte spikre brukes. De dimensjonerende verdiene av kapasiteten kan settes lik  $1/3$  av verdiene for spikre som er festet i rett vinkel på fiberretningen;
- Spikre som ikke er glatte og definert i NS-EN 14592, kan også brukes i konstruksjoner som ikke er sekundære. De dimensjonerende verdiene av kapasiteten kan settes lik  $1/3$  av verdiene for glatte spikre med ekvivalent diameter som er festet i rett vinkel på fiberretningen, forutsatt at:
  - spikrene bare er belastet på tvers;
  - det er minst tre spikre per forbindelse;
  - inntrengningsdybden er minst  $10d$ ;
  - forbindelsen ikke utsettes for klimaklasse 3;
  - avstandene og kantavstandene gitt i tabell 8.2 er oppfylt.

MERKNAD 1 Et eksempel på en sekundær konstruksjon er et raftebord festet på høykant til taksperrer.

MERKNAD 2 Den anbefalte anvendelsesregelen er gitt i 8.3.1.2(3). Det nasjonale valget kan angis i det nasjonale tillegget.

(5) Minste avstander mellom spikre innbyrdes og fra spikre til kant og ende er gitt i tabell 8.2, der (se figur 8.7):

- $a_1$  er avstanden mellom spikre i en rad parallelt på fiberretningen;
- $a_2$  er avstanden mellom rader med spikre vinkelrett på fiberretningen;
- $a_{3,c}$  er avstanden mellom spiker og ubelastet ende;
- $a_{3,t}$  er avstanden mellom spiker og belastet ende;
- $a_{4,c}$  er avstanden mellom spiker og ubelastet kant;
- $a_{4,t}$  er avstanden mellom spiker og belastet kant;
- $\alpha$  er vinkelen mellom kraften og fiberretningen.

Tabell 8.2 – Minste avstander mellom spikre innbyrdes og fra spikre til kant og ende

Innbyrdes avstand og kant-/endeavstander (se figur 8.7)	Vinkel $\alpha$	densitet $\rho_k$ [kg/m <sup>3</sup> ]	Minste avstander	
			Uten forboring	
			$\rho_k \leq 420$	$420 < \rho_k \leq 500$
$a_1$ (i fiberretningen)	$0^\circ \leq \alpha \leq 360^\circ$			
	$d < 5$ mm	$(5+5 \cos\alpha )d$	$(7+8 \cos\alpha )d$	$(4+ \cos\alpha )d$
	$d \geq 5$ mm	$(5+7 \cos\alpha )d$		
$a_2$ (vinkelrett på fiberretningen)	$0^\circ \leq \alpha \leq 360^\circ$		$5d$	$7d$
$a_{3,t}$ (belastet ende)	$-90^\circ \leq \alpha \leq 90^\circ$		$(10+5\cos\alpha)d$	$(15+5\cos\alpha)d$
$a_{3,c}$ (ubelastet ende)	$90^\circ \leq \alpha \leq 270^\circ$		$10d$	$15d$
$a_{4,t}$ (belastet kant)	$0^\circ \leq \alpha \leq 180^\circ$			
	$d < 5$ mm	$(5+2\sin\alpha)d$	$(7+2\sin\alpha)d$	$(3+2\sin\alpha)d$
	$d \geq 5$ mm	$(5+5\sin\alpha)d$	$(7+5\sin\alpha)d$	$(3+4\sin\alpha)d$
$a_{4,c}$ (belastet kant)	$180^\circ \leq \alpha \leq 360^\circ$		$5d$	$7d$
				$3d$

(6) Trevirket må forbones når tykkelsen på tredelene er mindre enn

$$t = \max \begin{cases} 7d \\ (13d - 30) \frac{\rho_k}{400} \end{cases} \quad (8.18)$$

der

$t$  er den minste tykkelsen tredelen må ha for å unngå forboring [mm];

$\rho_k$  er trevirkeets karakteristiske densitet [kg/m<sup>3</sup>];

$d$  er spikerdiameteren [mm].

(7) Trevirket i tresorter som er spesielt følsomme for oppsplitting, må forbones når tykkelsen på tredelene er mindre enn

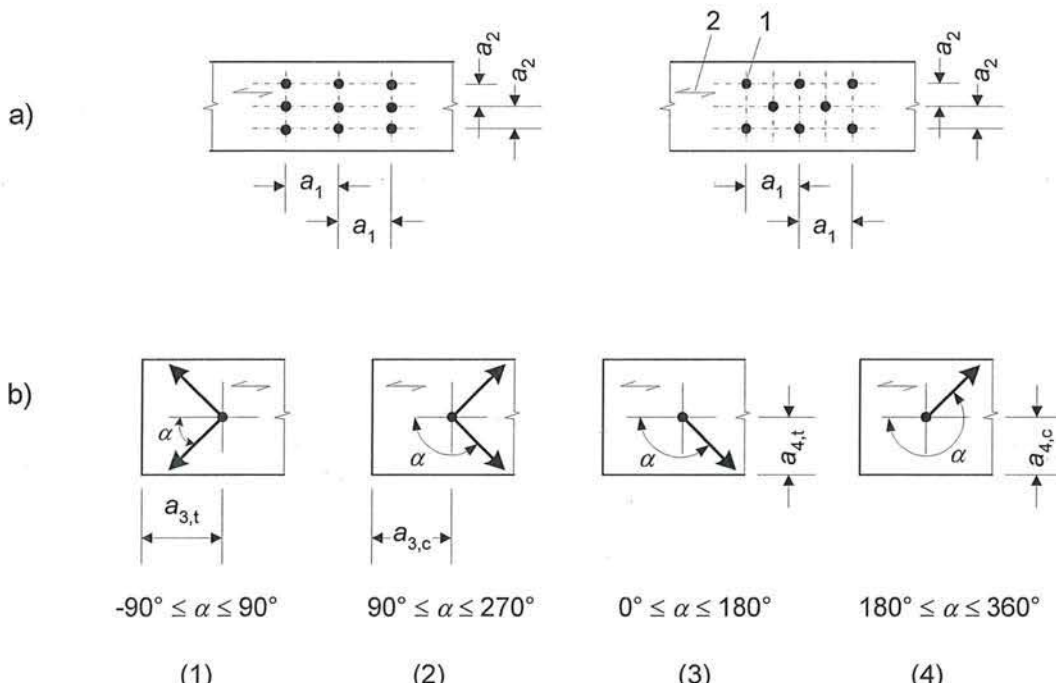
$$t = \max \begin{cases} 14d \\ (13d - 30) \frac{\rho_k}{200} \end{cases} \quad (8.19)$$

Formel (8.19) kan byttes ut med uttrykk (8.18) for kantavstander gitt av:

$$a_4 \geq 10d \quad \text{for } \rho_k \leq 420 \text{ kg/m}^3;$$

$$a_4 \geq 14d \quad \text{for } 420 \text{ kg/m}^3 \leq \rho_k \leq 500 \text{ kg/m}^3.$$

**MERKNAD** Eksempler på tresorter som er følsomme for oppspalting, er edelgran (*abies alba*), douglasgran (*pseudotsuga menziesii*) og gran (*pinus abies*). Det anbefales å følge 8.3.1.2(7) for edelgran (*abies alba*) og douglasgran (*pseudotsuga menziesii*). Det nasjonale valget kan angis i det nasjonale tillegget.



#### Tegnforklaring

- |     |                |     |                |                      |
|-----|----------------|-----|----------------|----------------------|
| (1) | Belastet ende  | (3) | Belastet kant  | 1 Forbindelsesmiddel |
| (2) | Ubelastet ende | (4) | Ubelastet kant | 2 Fiberretning       |

**Figur 8.7 – Innbyrdes avstander mellom forbindere og kant- og endeavstander;**  
**(a) avstand i fiberretningen i en rad og vinkelrett på fiberretningen mellom rader**  
**(b) kant- og endeavstander fra forbindere**

#### 8.3.1.3 Spikerforbindelser mellom platemateriale og trevirke

(1) Minste innbyrdes spikeravstander for alle forbindelser mellom platemateriale og trevirke bestemmes ved å multiplisere verdiene i tabell 8.2 med en faktor på 0,85. Kant- og endeavstander for spikre forblir uendret, med mindre annet er angitt.

(2) Minste kant- og endeavstander i komponenter av kryssfiner settes lik  $3d$  for en ubelastet ende (eller kant) og  $(3 + 4 \sin \alpha)d$  for en belastet ende (eller kant), der  $\alpha$  er vinkelen mellom retningen på lasten og den belastede enden (eller kanten).